

на ее выходе  $z=L$ . Видно, что в начальный момент на выход проходит примерно 1% вводимой мощности на частоте  $\omega_1$ , а основная часть появляется с задержкой в пять временных единиц, т.е. 125 мкс. Амплитуда и ширина выходного импульса волны  $A_1$ , определяются (без учета запаздывания) значением амплитуды волны накачки  $A_2$  в данный момент времени. Средняя скорость движения светового импульса частоты  $\omega_1$  составляет  $2 \cdot 10^5$  скорости света в волокне. В результате реализуется понижение эффективной скорости распространения светового импульса почти на пять порядков.

Таким образом, в данной системе имеет место существенно более сильное замедление световых импульсов по сравнению, в частности, с эффектом самоиндущированной прозрачности, где имеет место понижение скорости примерно на три порядка [4]. Кроме того, при описанном выше трехволновом акустооптическом взаимодействии задержка и направление движения импульсов управляемы, что открывает перспективы создания новых акустооптических устройств.

#### Л и т е р а т у р а

- [1] Бурлак Г.Н., Гримальский В.В., Тараненко Ю.Н. - ЖТФ, 1986, т. 56, в. 2, с. 424-426.
- [2] Бурлак Г.Н., Гримальский В.В., Коцаренко Н.Я. - ЖЭТФ, 1986, т. 90, № 4, с. 1487-1492.
- [3] Druhl K., Wenzel R.G., Garlsten J.L. - Phys. Rev. Lett., 1983, v. 51, N 13, p. 1171-1174.
- [4] Gibbs H.M., Slusher R.E. - Phys. Rev. Lett., 1970, v. 24, p. 683-686.

Киевский государственный  
университет им. Т.Г. Шевченко

Поступило в Редакцию  
8 июня 1988 г.

Письма в ЖТФ, том 14, вып. 21      12 ноября 1988 г.

#### ИССЛЕДОВАНИЕ АКУСТОЭЛЕКТРОННОГО ЧАСТОТОМЕРА, ИСПОЛЬЗУЮЩЕГО ИНТЕРФЕРЕНЦИЮ ПОВЕРХНОСТНЫХ АКУСТИЧЕСКИХ ВОЛН

Н.И. Буриков, А.В. Решетко,  
Л.Я. Серебренников

Известно, что нанесение на поверхность льеозоэлектрика тонких проводящих пленок, не влияющих на механические граничные условия, приводит к изменению скорости распространения поверхностных акустических волн (ПАВ) [1].

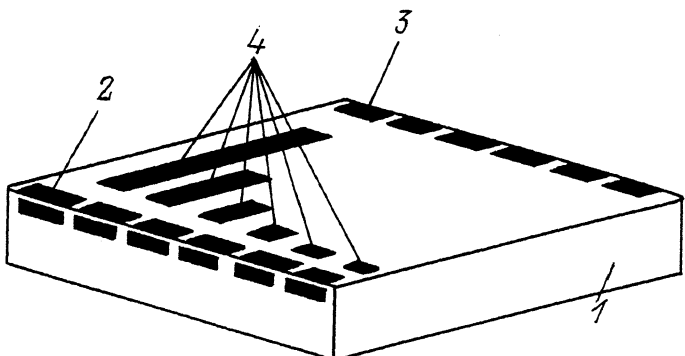


Рис. 1.

В предлагаемом сообщении рассматривается одно из возможных применений эффекта изменения скорости ПАВ при электрическом „закорочении” поверхности пьезоэлектрической подложки на примере акустоэлектронного частотомера, в котором использование металлических пленок в акустических каналах позволяет получать информацию о частоте в виде двоичного кода, что облегчает индикацию и упрощает связь устройства с ЭВМ.

Акустоэлектронный частотомер (рис. 1) содержит пьезоэлектрический звукопровод 1, входные 2 и выходные 3 преобразователи, образующие параллельные акустические каналы шириной  $d$ . Число таких каналов зависит от числа разрядов двоичного кода, в котором частотомер выдает информацию. Входные преобразователи, представляющие собой торцевые пьезопреобразователи [2], включены параллельно, а выходные электрически изолированы. В каждом канале на поверхность звукопровода нанесены металлические пленки 4 шириной  $\frac{d}{2}$ , длина которых различна и определяется выражением

$$l_n = l_1 \cdot 2^{n-1}, \quad (1)$$

где  $n$  — номер канала,  $l_1$  — длина пленки в первом канале.

Пусть на вход устройства поступает измеряемый радиосигнал, который преобразуется входными преобразователями в ПАВ, распространяющуюся в параллельных акустических каналах к выходным преобразователям. В каждом канале половина акустического потока проходит под металлической пленкой, испытывая при этом замедление по скорости на величину  $\Delta v$  [1]. Пришедшая таким образом на выходной преобразователь волна в каждом канале может быть представлена в виде суммы двух волн одинаковой амплитуды  $U_1 = U_2$ , но с различными фазовыми набегами. Относительный фазовый сдвиг  $\Delta\varphi$  этих двух волн зависит от длины металлической пленки в направлении распространения акустической волны:

$$\Delta\varphi = \frac{2\pi l_n}{\lambda} \cdot \frac{\Delta v}{v}, \quad (2)$$

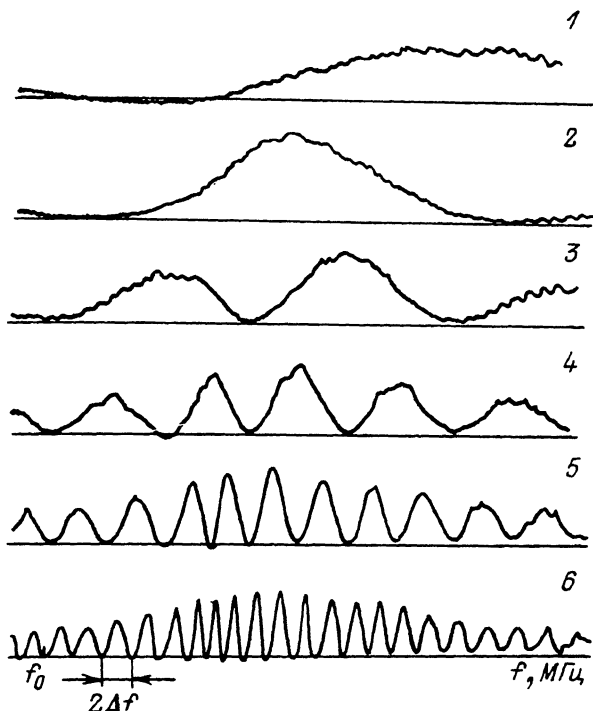


Рис. 2.

где  $\lambda = \frac{c_f}{f}$  — длина акустической волны,  $c_f$  и  $c$  — скорости ПАВ по свободной и металлизированной поверхностям соответственно,  $f$  — частота.

При суммировании двух волн на выходном преобразователе амплитуда сигнала определяется относительным фазовым сдвигом:

$$U_{вых} = 2U \cos^2 \frac{\Delta\varphi}{2}, \text{ при } U_1 = U_2 = U. \quad (3)$$

Если фазовый сдвиг составляет  $\pi(2m-1)$  радиан (при  $m = 1, 2\dots$ ), то суммарная амплитуда равна нулю, а если  $\Delta\varphi = (2\pi m)$ , то  $U_{вых} = 2U$ . Длины металлических пленок в каналах выбраны в соответствии с (2) таким образом, что относительные фазовые набеги в каналах на частоте  $f_0$  будут давать нулевые значения  $U_{вых}$  на всех выходных преобразователях, что соответствует „нулям“ во всех разрядах кода. При увеличении частоты на  $\Delta f$  ( $\Delta f$  должно быть таким, чтобы фазовый набег в младшем разряде (канале с самой длинной пленкой) изменился на  $\pi$  радиан в соответствии с (2)) напряжение на выходном преобразователе станет  $2U$ , что соответствует „единице“ в младшем разряде, соответственно „единице“ в млад-

шем разряде следует сопоставлять значение частоты  $f_0 + \Delta f$ . При увеличении частоты на  $2\Delta f$  в младшем разряде снова станет  $\mathcal{U}_{вых} = 0$ , а в следующем канале амплитуда на выходе будет  $2\mathcal{U}$ , так как длина пленки в нем в два раза меньше. При дальнейшем увеличении частоты комбинация „нулей“ и „единиц“ в разрядах будет изменяться в соответствии с двоичным кодом, который следует сопоставлять измеряемой частоте:

$$f = f_0 + \sum_{i=0}^{n-1} a_i \cdot \Delta f \cdot 2^i, \quad (4)$$

где  $a_i = 0, 1$ .

Необходимо также отметить, что противофазное включение выходного преобразователя в каналах позволяет получать информацию о частоте в циклическом коде Грэя, в котором существенно уменьшается неоднозначность считывания по сравнению, например, с прямым двоичным кодом, а также уменьшить влияние паразитных сигналов, обусловленных объемными волнами и электромагнитной наводкой.

Был изготовлен и испытан акустоэлектронный частотомер, включающий шесть каналов на подложке из ниобата лития  $YZ$  среза. Длина металлической пленки в шестом канале  $l_6 = 20$  мм.

Результаты испытаний приведены на рис. 2. Здесь под номерами 1-6 обозначены амплитудно-частотные характеристики (АЧХ) в шести каналах в диапазоне 200-300 МГц. АЧХ сфотографированы с экрана характериографа Х1-19.

Испытания показали, что использование эффекта замедления ПАВ позволяет измерять частоту сигналов с представлением ее значений в шифровом коде.

## Л и т е р а т у р а

- [1] Фильтры на поверхностных акустических волнах (расчет, технология и применение): Пер. с англ. / Под. ред. Г. Мэтьюза. М.: Радио и связь, 1981, 472 с.
- [2] Серебренников Л.Я., Шандаров В.М., Шандаров С.М. - Письма в ЖТФ, 1979, т. 5, № 5, с. 288-290.

Томский институт  
автоматизированных систем  
управления и радиоэлектроники

Поступило в Редакцию  
30 мая 1988 г.